



ارائه شده توسط :

سایت ترجمه فا

مرجع جدیدترین مقالات ترجمه شده

از نشریات معتربر

مطالعه عددی در مورد تنش های حرارتی از یک سلول سوختی اکسید جامد مسطح

چکیده

مدل المان محدود سه بعدی (D3) متشکل از الکترود منفی-الکترولیت-الکترود مثبت (PEN) و مونتاژ اتصال فلزی (MIC) با استفاده از نرم افزار تجاری المان محدود ABAQUS ساخته می شود. با مشخصات دمایی شبیه سازی شده در سلول سوختی اکسید جامد مسطح (SOFC)، روش المان محدود، برای محاسبه توزیع تنش حرارتی در SOFC مسطح استفاده می شود. اثرات مشخصات دمایی، الکترودها و ضخامت الکترولیت و ضرایب عدم تطابق CTE (ابن باطن حرارتی) بین مولفه ها مشخص می شوند. مقدار و توزیع تنش حرارتی، تابعی از مواد اعمال شده مشخصات درجه حرارت اعمال شده و ضخامت آند و الکترولیت می باشد. نتایج محاسبه شده را می توان به عنوان راهنمایی برای انتخاب مواد SOFC و طراحی ساختار SOFC استفاده نمود. آند تحت تنش های کششی زیادی قرار می گیرد و در مدت اولین خنک کنندگی از دمای پخت، الکترولیت تحت تنش فشاری بزرگی قرار می گیرد. کاهش شیمیایی NIO به نیکل در آند متخلخل، تا ۲۰٪ باعث کاهش سطح تنش مطلق در ساختار PEN می شود. تنش های کششی زیادی در آند و تنش های فشاری بزرگ در الکترولیت، زمانی که که SOFC در درجه حرارت بالا عمل می کند، تا حدی آرام می شود. زمانی که ساختار PEN پس از پخت در حال خنک شدن در دمای اتاق است، ترک ها احتمالاً می توانند در ساختار آند ظاهر شوند.

کلید واژه ها: سلول سوختی اکسید جامد، شبیه سازی عددی، تنش حرارتی

۱. مقدمه

سلول های سوخت، کارآمد ترین دستگاه برای تبدیل الکتروشیمیایی انرژی شیمیایی هیدروژن به برق هستند و توجه فزاینده ای را در سال های اخیر برای سازگاری با محیط زیست بدون انتشار سمی یا انتشار سمی کم و تولید برق توزیع شده کارآمد به خود معطوف کرده اند. در سلول های سوختی موجود، سلول سوختی اکسید جامد

(SOFC) با هندسه یکپارچه، مسطح و لوله ای به عنوان یک سلول سوختی با دمای بالا، باعث عملکرد خوبی در تولید انرژی می شود و همچنان به عنوان یک منبع انرژی آینده، نویدبخش است. در طرح های پشته SOFC ، به تازگی طراحی نوع مسطح جلب توجه کرده است، به دلیل اینکه ساخت ساده تر نسبت به اشکال مختلف از طرح های نوع دیگر دارد. علاوه بر این، SOFC نوع مسطح، به دلیل مقاومت الکتریکی پایین به عنوان یک نتیجه از مسیر جریان کوتاه تر، چگالی انرژی بالاتری را نسبت به نوع SOFC لوله ای ارائه می دهد. درجه حرارت معمولی از یک سلول سوختی اکسید جامد ۱۰۰۰ تا ۶۰۰ درجه است که منجر به تنش های شدید حرارتی و تاب برداشتن بر روی ساختارهای الکترود منفی-الکترولیت-الکترود مثبت (PEN) از SOFCs می شود که ناشی از عدم تطابق ضرایب انبساط حرارتی (CTE) از لایه های مختلف در ساختار PEN از SOFCs با توجه به تغییرات دما در طول فرآیند تولید PEN و چرخه حرارتی است. و اینها ممکن است به ترک و نابود شدن ساختار SOFC منجر شود.

مطالعات عددی توسط بسیاری از محققان در مورد عملکرد الکتریکی SOFC با استفاده از مدل های الکتروشیمیایی ساده انجام شده است [e31] ، به عنوان مثال معادله Volmer - Buttler - Tafel ، که نوعی خطی از معادله Knudsen برای نفوذ گاز از طریق الکترودهای متخلخل نادیده گرفته شده است [۲۳]. Ferguson مطالعات عددی را با حل معادلات جریان و معادله پتانسیل برای هندسه های مختلف از SOFCs معرفی نموده اند. تجزیه و تحلیل سیال-حرارتی STARCD مسطح با استفاده از ابزار محاسباتی دینامیک سیالات Yakabe و همکاران انجام شد. [۵] . از آنجا که SOFCs در دمای بالا کار می کند و مقیاس سلول کوچک است، مطالعات تجربی در مورد تنش های حرارتی دشوار است. استفاده از توموگرافی رایانه ای اشعه X، ارزیابی حداکثر اندازه نقص های Malzbender و همکاران را میسر ساخت. [۶] . تنش پسماند در الکترودها توسط اندازه گیری Selcuk و همکاران برآورد شد. [۷] . روش پراش اشعه X برای اندازه گیری تنش پسماند در الکترولیت از سلول پشتیبانی شده توسط آند توسط Yakabe و همکاران [۸] و Fischer [۹] مورد استفاده قرار گرفت. پیشرفت ترین تحقیقات در مورد تنش های حرارتی SOFC با ایجاد مدل های کامپیوتی و شبیه سازی

عددی صورت گرفته است. مطالعات عددی برای تنش های حرارتی SOFC توسط محققان مختلف انجام شد. یک مدل دو بعدی ، بر اساس روش حجم محدود، در FORTRAN برای شبیه سازی یک الکتروولیت مسطح SOFC پشتیبانی شده توسط Selimovic و همکاران تهیه شده است. [۱۰]. یک مدل ریاضی دو بعدی به منظور برآورد تنش های حرارتی و برای پیش بینی طول عمر سلول [۱۱] توسعه داده شد و نظریه Weibull برای پیش بینی خطر تخریب سلول بر اساس محاسبه دو بعدی تنش مورد استفاده قرار گرفت [۱۲]. یک چارچوب مدل سازی پشته ای که ترکیبی از مدل های حرارتی الکتروشیمیایی ، از جمله تخریب و با مدل المان محدود تماس حرارتی مکانیکی بر اساس SOFC پشتیبانی شده توسط آند است برای مطالعه قابلیت اطمینان مکانیکی و دوام SOFC پشته ای توسط Nakajo و همکاران مورد استفاده قرار گرفت. [۱۳، ۱۴]. نرم افزار ANSYS برای انجام تجزیه تحلیل های المان محدود سه بعدی (D۳) طرح های مهر و موم SOFC پیوند خورده سازگار توسط Weil و همکاران [۱۵] و Jiang و همکاران [۱۶] مورد استفاده قرار گرفت.

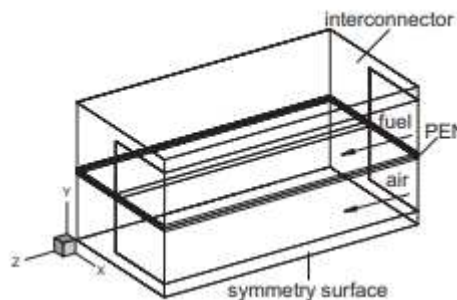
هدف از این کار کنونی، مطالعه بررسی تنش های حرارتی در اجزای SOFC با استفاده از یک مدل شبیه سازی سه بعدی (D۳) است. به منظور به دست آوردن این تنش ها، یک مدل عددی سه بعدی از SOFCs برای هندسه های مختلف با قطبش کامل در این مطالعه استفاده شده است، از جمله اصلاح متان و تغییر آب و گاز. این مدل با معادلات حاکم از طریق واسطه تابع تعریف شده کاربر (UDF) که توسط نرم افزار دینامیک تجاری سیالات محاسباتی (CFD) ، Fluent ، ارائه شده است، مرتبط است. معادلات حمل و نقل برای جرم، تکانه، گونه ها، انرژی و پتانسیل الکتریکی با استفاده از نرم افزار، Fluent حل شده است. ویژگی های الکتریکی اجزای رسانا و ویژگی های مشخصه درجه حرارت برای SOFC پیکربندی شده مسطح مورد بررسی قرار گرفته است. مدل تنش های حرارتی سه بعدی المان محدود شامل PEN و مونتاژ اتصالات با استفاده از نرم افزار تجزیه و تحلیل المان محدود تجاری ABAQUS (FEA) بر اساس مشخصات دما در SOFC مسطح محاسبه شده توسط مدل الکتروشیمیایی ساخته می شود. اثرات مشخصات دما، الکترودها و ضخامت های الکتروولیت و عدم تطابق های CTE بین مولفه ها مشخص می

شود. نتایج محاسبه شده را می توان به عنوان راهنمایی برای انتخاب مواد SOFC و طراحی ساختار SOFC به منظور بهبود عملکرد ساختار SOFC و اعتبار آن استفاده نمود.

۲. مدل ریاضی

۲.۱. مدل هندسی

یکی از تمرین های مدل سازی پشتہ سلول سوختی، توسط آژانس بین المللی انرژی (IEA) انجام شد که شامل هفت کشور اروپایی و ژاپن در سال ۱۹۹۵ می شد. دو مورد عملیات پشتہ SOFC، شبیه سازی شد: (۱) یک پشتہ سلول عامل با سوخت هیدروژن مرطوب و تغذیه هوا (۲) یک پشتہ سلول عامل با بخار مستقیم داخلی اصلاح کننده متان و هوا . این دو مورد " تست معیار ۱ " و " تست معیار ۲ " در پایگاه داده IEA نامیده می شدند.



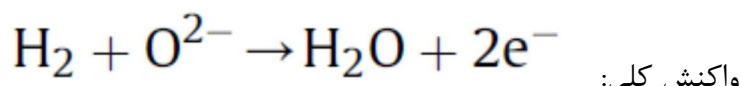
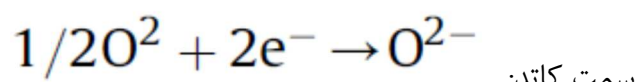
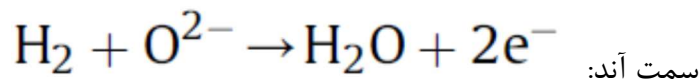
شکل ۱. هندسه نیم سلول واحد تک برای SOFC مسطح

در این کار، یک مدل سلول واحد ساده با کanal دو قطبی مورد بررسی قرار گرفته است. علاوه بر این ، از آنجا که هندسه این واحد متقارن است، تنها نیمی از واحد تکرارشونده شبیه سازی شده است. پیکربندی نیم سلول واحد در شکل ۱ نشان داده شده است. هر دو SOFC هم جریان و ضد جریان مسطح در این کار مدلسازی شده اند. پارامترهای هندسی سلول تک برای انجام محاسبات به شرح زیر ارائه می شود: مساحت واکنش کanal ۳ میلی متر در ۱۰۰ میلی متر، ارتفاع کanal ۱ میلی متر، زیر منطقه واکنش MIC ۲,۴۲ میلی متر در ۱۰۰ میلی متر، عرض دنده MIC ۲,۴۲ میلی متر، ضخامت الکتروولیت ۱۵۰ میلی متر، ضخامت آند ۵۰ میلی متر، ضخامت کاتد ۵۰ میلی متر و صفحه دو قطبی با ضخامت ۲,۵ میلی متر . همانطور که نیمه سلول واحد در شکل ۱ نشان داده شده است، منطقه

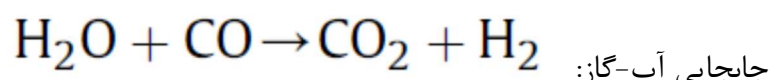
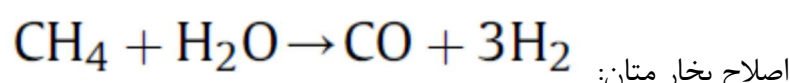
فعال در محاسبات عددی شامل منطقه واکنش نیم کanal و نیم منطقه واکنش زیر MIC ، که برابر با ۲,۷۱ میلی متر در ۱۰۰ میلی متر است. نفوذ پذیری الکترود متخلخل ۱ برابر 10^{-8} m و تخلخل ۰,۲ است .

۲,۲ مدل الکتروشیمیایی

واکنش های الکتروشیمیایی در نظر گرفته شده در SOFC عبارتند از/ک



برای اصلاح بخار داخلی SOFC واکنش اصلاح کننده و واکنش جابجایی گاز-آب درون اند اضافه می شوند:



فرض شد که واکنش های الکتروشیمیایی در واسط بین الکترود و الکتروولیت رخ می دهند. واکنش جابجایی به اندازه کافی سریع است و در این مدل فرض می کنیم که واکنش دنده در تعادل شیمیایی در آند صورت می گیرد به عنوان یک سیستم حفاظت از انرژی، ولتاژ تولید شده توسط SOFC را می توان با ترکیب حفاظت انرژی و تعادل آنتروپی واکنش الکتروشیمیایی برای [17 SOFC] محاسبه نمود. مدل قطبش به طور کامل در این مقاله [۱۸]

استفاده شده است. ولتاژ تولید شده توسط SOFC به صورت زیر مدلسازی می شود

$$E_v = -\frac{1}{z_e F} \left[\sum_i (\lambda_i g_i)_p - \sum_i (\lambda_i g_i)_r \right] - (\eta_{act} + \eta_{conc} + \eta_{ohm}) \quad (1)$$

که در آن

$$\begin{aligned}
g_i(T, p_i) &= h_i(T) - Ts_i(T, p_i) \\
&= \int_{T_0}^T c_{pi}(T) dT - T \int_{T_0}^T \frac{c_{pi}(T)}{T} dT - RT \ln \frac{P_0}{p_i}
\end{aligned} \tag{2}$$

در SOFC، افت ولتاژ شامل η_{ohm} قطبش غلظت و قطبش اهمی. η_{conc} قطبش فعال سازی، η_{act} قطبش فعالسازی، مانع انرژی موجود بین رساناهای الکترونیک و یونی در واکنش الکتروشیمیایی است. قطبش فعالسازی در هر دو الکترود در تمام محدوده چگالی جریان رخ می‌دهد. این مقدار توسط معادله Butler-Volmer

[26] محاسبه می‌شود. ضریب انتقال β در ۵٪ فرض می‌شود، قطبش فعال سازی را می‌توان با معادله زیر محاسب نمود:

$$\eta_{act} = \frac{2RT}{n_e F} \sin h^{-1} \left(\frac{i}{2i_0} \right) \tag{3}$$

که در آن ۱۰ چگالی جریان تبادلی بستگی به فشار جزئی ترکیبات گاز واکنش و درجه حرارت دارد. معادلات (۴) و (۵) در مدل با توجه به مرجع [۱۹] اعمال می‌شوند.

در سمت آند

$$i_{0,a} = \gamma_a \left(\frac{p_{H_2}}{p_{ref}} \right) \left(\frac{p_{H_2O}}{p_{ref}} \right) \exp \left(-\frac{E_a}{RT} \right) \tag{4}$$

در سمت کاتد،

$$i_{0,c} = \gamma_c \left(\frac{p_{O_2}}{p_{ref}} \right)^{0.25} \exp \left(-\frac{E_c}{RT} \right) \tag{5}$$

واکنش‌های الکتروشیمیایی در واسطه الکترولیت-الکترود رخ می‌دهد. فشارهای جزئی گاز واکنش زمانی که گونه‌ها از طریق مواد متخلخل از کanal‌های گاز به سایت‌های واکنش پخش می‌شوند، تغییر می‌یابند. فرایندهای انتشار آن

توسط نفوذ عادی و انتشار Knudsen توصیف می شوند. افت ولتاژ به علت مقاومت در برابر نفوذ گونه ها، قطبش غلظت نامیده می شود که در هر دو الکترود مدل به شرح زیر [۱۸] رخ می دهد:

$$\begin{aligned}\eta_{\text{conc},a} &= -\frac{RT}{2F} \left[\ln\left(\frac{p_{\text{H}_2}}{p_{\text{H}_2}^e}\right) - \ln\left(\frac{p_{\text{H}_2\text{O}}}{p_{\text{H}_2\text{O}}^e}\right) \right] \\ \eta_{\text{conc},c} &= -\frac{RT}{4F} \ln\left(\frac{p_{\text{O}_2}}{p_{\text{O}_2}^e}\right)\end{aligned}\quad (6)$$

تلفات اهمی، که از مقاومت به هدایت بار الکتریکی از طریق اجزای سلولی بوجود می آید، به صورت خطی به جریان بستگی دارد. هدایت اجزای الکتریکی، تابعی از دما است و می توان آن را از رابطه زیر محاسبه نمود:

$$\sigma = \frac{A_0}{T} \exp\left(-\frac{E_0}{kT}\right)\quad (7)$$

بنابراین، تلفات اهمی به صورت زیر نوشته می شود:

$$\eta_{\text{ohm}} = \left| \vec{i} \cdot \vec{n} \right| r = \left| \vec{i} \cdot \vec{n} \right| l_{el} / \sigma\quad (8)$$

با توجه به درجه حرارت بالای SOFC، متان و بخار آب در سوخت گاز به آند جذب می شوند و برای تولید هیدروژن ترکیب می شوند. سرعت واکنش اصلاح متان مورد استفاده در مدل حاضر در معادله زیر [۳،۲۰] نشان داده شده است.

$$\dot{r}_R = k_0 p_{\text{CH}_4} f_e \exp\left(\frac{-\Delta E}{RT}\right)\quad (9)$$

که در آن عامل تعادل fe به اندازه ۱ تخمین زده می شود. ثابت تعادل برای واکنش جابجایی به صورت زیر بیان می شود

$$K_{\text{shift}} = \exp\left(\frac{-\Delta G_{\text{wgs}}}{RT}\right)\quad (10)$$

که در آن تغییر انرژی آزاد Gibbs (ΔG_{wgs}) توسط معادله (۲) تخمین زده می شود.

۲.۳. مدل سیال-حرارتی

تجزیه و تحلیل سیال-حرارتی با استفاده از نرم افزار CFD FLuent، معادلات ترمودینامیکی برای واکنش های الکتروشیمیایی و معادلات حاکم بر حفاظت جرم، تکانه، و انرژی ساخته می شود و توسط UDF حل

می شوند. ۳ مدل استاندارد $k-\epsilon$ و الگوریتم SIMPLEC استفاده می شود.

معادلات حاکم بر جریان سیال ثابت را می توان به صورت زیر نوشت:

$$\operatorname{div} \left(\rho \vec{V} \phi \right) = \operatorname{div} \left(\Gamma_\phi \operatorname{grad} \phi \right) + S_\phi \quad (11)$$

که در آن Γ ضریب انتشار و S_ϕ عبارت منبع برای متغیر عمومی ϕ است. آنها در مرجع [۲۱] برای همه

معادلات بقا به جز معادله انتقال گونه ها و معادله پتانسیل الکتریکی داده شده اند. برای معادله پیوستگی،

$\varphi = 1$ ، برای معادلات بقای دیگر، φ برابر با کسر جرم Y_i برای هر گونه معادلات حمل و نقل، VJ سرعت در

هر مسیر برای معادلات حرکت، T درجه حرارت برای معادله انرژی و U پتانسیل الکتریکی برای معادله شارژ است.

در مدل حاضر، فرض می شود سیال هیچ تاثیری روی هدایت جریان الکتریکی ندارد.

بنابراین، برای معادله پتانسیل الکتریکی،

$$\operatorname{div} \left(\rho \vec{V} \Phi \right) = 0 \quad (12)$$

برای معادلات حمل و نقل گونه ها، تخمین رقیق کردن در جریان آرام اعمال می شود.

$$\Gamma_i = \rho D_i \quad (13)$$

که در آن D_i ، ضریب نفوذ برای گونه های i در ترکیب است. معادله پتانسیل الکتریکی به صورت زیر نشان داده می

شود

$$\Gamma_\varphi = \sigma \quad (14)$$

حرارت غلظت و گونه ها، با توجه به واکنش های الکتروشیمیایی تغییر می کند، و تغییرات برحسب معادلات حاکم به منبع آورده می شوند.

واژه منبع حرارتی حجمی، Sq ، مجموع منبع حرارت اهمی، حرارت واکنش شیمیایی و تبادل گرمای تابشی است.

$$Sq = Q_{\text{ohm}} + Q_{\text{chem}} + Q_{\text{rad}} \quad (15)$$

که در آن منبع حرارتی اهمی به صورت زیر است:

$$Q_{\text{ohm}} = \sigma \text{grad} \Phi \text{grad} \Phi \quad (16)$$

منبع حرارتی شیمیایی برای عنصر کنترل حجم در حوزه درون لایه ای سمت آند به صورت زیر است:

$$Q_{\text{chem},a} = (\dot{r}_f - \dot{r}_b) \Delta H_s + \dot{r}_R \Delta H_R + \frac{|\vec{i} \cdot \vec{n}|}{2F} A_{CV} \Delta H_E \quad (17)$$

که در آن در دیگر حوزه ها، $Q_{\text{chem}} = 0$.

مدل تابش هماهنگ گسسته (DTRM) برای محاسبه انتقال حرارت تابشی اعمال می شود [۲۲]. معادله برای تغییر

شدت تابشی، dI ، در امتداد یک مسیر، ds ، می تواند به صورت زیر نوشته شود

$$\frac{dI}{ds} + aI = \frac{a\sigma T^4}{\pi} \quad (18)$$

که در آن a برای ضریب جذب گازی، T ، دمای محلی گاز و σ ثابت بولتزمان-Stefan- $m^2 K^4$. است. $(5.672 \times 10^{-8} W/$

محیط متخلفل با عبارت منبع حرکت در معادلات جریان سیال استاندارد مدلسازی می شود. عبارت منبع شامل عبارت افت چسبناک و عبارت افت اینرسی را می توان از رابطه محاسبه نمود:

$$S_j = - \left(\sum_{k=1}^3 D_{j,k} \mu V_k + \sum_{k=1}^3 \zeta_{j,k} \frac{1}{2} \rho \left| \vec{V} \right| V_k \right) \quad (19)$$

در مدل حاضر، الکترودهای متخلخل به سادگی به صورت همگن در نظر گرفته می شوند و عامل مقاومت اینرسی را می توان صفر در نظر گرفت. مدل الکترودهای متخلخل را می توان با قانون Darcey توصیف مود

$$S_j = -\frac{\mu}{\alpha} V_j \quad (20)$$

که در آن α ، نفوذپذیری ماده متخلخل است.

پتانسیل در سراسر میدان های الکتریکی به جز واسطه های الکتروولیتی که در آن واکنش های شیمیابی رخ می دهد پیوسته است. همانطور که در شکل ۲ نشان داده شده است، چگالی جریان یونی از طریق الکتروولیت را می توان از رابطه زیر به دست آورد

$$\vec{i} \cdot \vec{n} = \frac{E_n - (\Phi_{P'} - \Phi_P)}{R_n} \quad (21)$$

که در آن R_n ، منطقه فشرده مقاومت الکتریکی خاص محلی برای مجموع قطبش است. شار حرارتی و شار جریان الکتریکی در مرز خارجی، صفر می باشند. پتانسیل یکنواخت در ورودی جریان و خروجی به صورت مقدار فرض شده داده شده است. این فشار در رسانه های گازی داده شده است. درجه حرارت، کسر جرم گونه ها و شار جرم در ورودی گاز تحمیل می شوند.

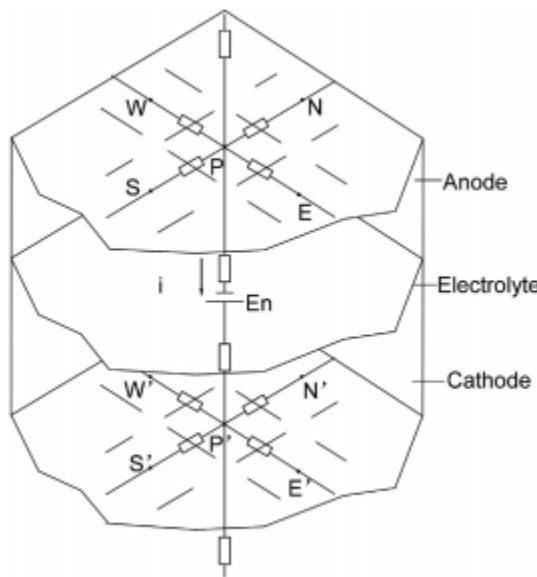
۲.۴. مدل تنش حرارتی

در تئوری کلاسیک ترموالاستیسیته خطی (قانون Neumann - Duhamel)، مولفه های تانسور کرنش ϵ_{ij} ، توابع خطی از مولفه های تانسور تنش و مولفه های تانسور کرنش ناشی از تغییر درجه حرارت می باشند. داریم :

$$\varepsilon_{ij} = \varepsilon_{ij}^e + \varepsilon_{ij}^T \quad (22)$$

که در آن ε_{ij}^T نشان دهنده فشار الاستیک و ε_{ij}^e مخفف کرنش حرارتی است. وقتی که تغییرات درجه حرارت از T_0 به T است، کرنش حرارتی این عنصر به علت تغییر درجه حرارت برابرست با

$$\varepsilon_{ij}^T = \alpha(T - T_0)\delta_{ij} \quad (23)$$



شکل ۲. طرح شبکه ای برای محاسبه چگالی جریان در واسطه های الکترود/الکتروولیت

که در آن α ، ضریب بسط حرارتی خطی و δ_{ij} ، دلتای Korncker است. تاسور کرنش الاستیک به طور خطی متناسب با تانسور استرس است

$$\varepsilon_{ij}^e = \frac{1}{2G} \left(\sigma_{ij} - \frac{\nu}{1+\nu} \sigma_{kk} \delta_{ij} \right) \quad (24)$$

که در آن G ، پیمانه برسی و ν نسبت Poisson است و کل تاسور کرنش برابرست با

$$\varepsilon_{ij} = \frac{1}{2G} \left(\sigma_{ij} - \frac{\nu}{1+\nu} \sigma_{kk} \delta_{ij} \right) + \alpha(T - T_0) \delta_{ij} \quad (25)$$

معادله (۲۵)، قانون ترمولاستیسیته خطی است. با حل برای تاسور تنش σ_{ij} داریم

$$\sigma_{ij} = 2G \left[\varepsilon_{ij} + \frac{\nu}{1-2\nu} \left(\varepsilon_{kk} - \frac{1+\nu}{\nu} \alpha(T - T_0) \right) \delta_{ij} \right] \quad (26)$$

روابط کرنش-تنش بر حسب پیمانه Poisson و نسبت Young غالباً استفاده می شوند و عبارتند از:

$$\begin{aligned} \varepsilon_{xx} &= \frac{1}{E} [\sigma_{xx} - \nu(\sigma_{yy} + \sigma_{zz})] + \alpha(T - T_0) \\ \varepsilon_{yy} &= \frac{1}{E} [\sigma_{yy} - \nu(\sigma_{zz} + \sigma_{xx})] + \alpha(T - T_0) \\ \varepsilon_{zz} &= \frac{1}{E} [\sigma_{zz} - \nu(\sigma_{xx} + \sigma_{yy})] + \alpha(T - T_0) \end{aligned} \quad (27)$$

$$\begin{aligned} \varepsilon_{xy} &= \frac{\sigma_{xy}}{2G} \\ \varepsilon_{yz} &= \frac{\sigma_{yz}}{2G} \\ \varepsilon_{zx} &= \frac{\sigma_{zx}}{2G} \end{aligned}$$

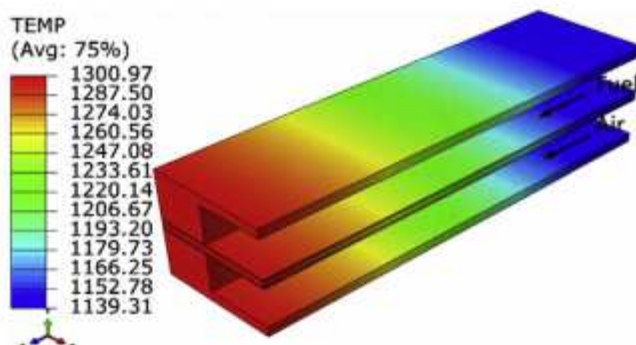
در مواد ایزوتropیک بدون بارهای مکانیکی و توزیع درجه حرارت، هر یک از عناصر به طور یکنواخت در هر بعد گسترش می یابد. در SOFC، گسترش اجزای، با توجه به عدم تطابق CTE بین اجزای سلول، متفاوت می باشند. بر اساس محدودیت های رابط، تنش های حرارتی برای حفظ استمرار اندازه و رابط تولید می شود.

مشخصات تنش های حرارتی در ساختار SOFC PEN از توزیع دمای شبیه سازی شده در SOFC با استفاده از مدل المان محدود تنش های حرارتی SOFC توسعه یافته توسط نرم افزار تجاری المان محدود ABAQUS محاسبه می شود. در محاسبه تنش، C3D8R نوع المان (المان های سه بعدی از آجر خطی هشت گره اس) برای ایجاد شبکه SOFC برای مدل تنش حرارتی SOFC به کار گرفته می شود. توزیع دمای محاسبه شده توسط مدل سیال-حرارتی در ABAQUS به صورت میدان دمایی از پیش تعریف شده خوانده می شود. در محاسبه تنش، فرض شده است که

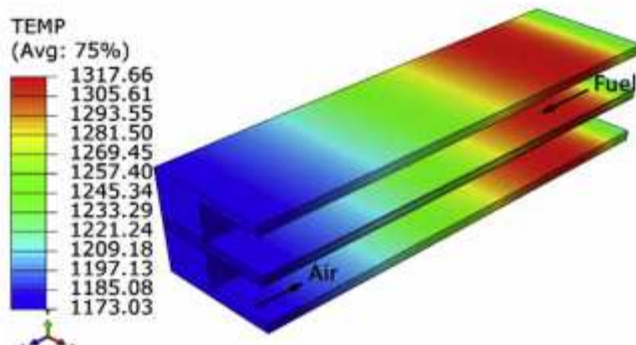
هیچ بار مکانیکی بر روی اجزای سلول سوختی قرار داده نمی شود و اجزای سازنده می توانند آزادانه و کج و معوج باشند. داده های در دسترس در مورد خواص مکانیکی برای مواد پشته SOFC، کمیاب هستند. رفتار الاستیک خطی von Mises برای همه اجزای سرامیکی فرض می شود. شکل پذیری با سخت شدن ایزوتropیک و معیار عملکرد Mises برای MIC استفاده می شود. پارامترهای فیزیکی پایه برای مواد از اجزای SOFC استفاده شده در این مدل در جدول ۱ فهرست شده اند [۱۳، ۱۴، ۲۴، ۲۵].

| | T/K | E/GPa | ν | CTE/ 10^{-6} K^{-1} | σ_y/MPa |
|-------------------|------|-------|-------|------------------------------|-----------------------|
| Cathode (LSM) | RT | 41.3 | 0.28 | 12.16 | – |
| | 1073 | 48.3 | 0.28 | – | – |
| Electrolyte (YSZ) | RT | 196.3 | 0.32 | 10.21 | – |
| | 1073 | 148.6 | 0.32 | – | – |
| Anode (NiO–YSZ) | RT | 124.9 | 0.39 | 12.37 | – |
| | 1073 | 119.9 | 0.39 | – | – |
| Anode (Ni–YSZ) | RT | 72.5 | 0.39 | 12.41 | – |
| | 1073 | 58.1 | 0.39 | – | – |
| MIC (Crofer22APU) | RT | 216 | 0.3 | 11.80 | 248 |
| | 1073 | 65.9 | 0.3 | – | 35 |

جدول ۱ - پارامترهای فیزیکی اساسی مواد SOFC [۱۳، ۱۴، ۲۴، ۲۵].

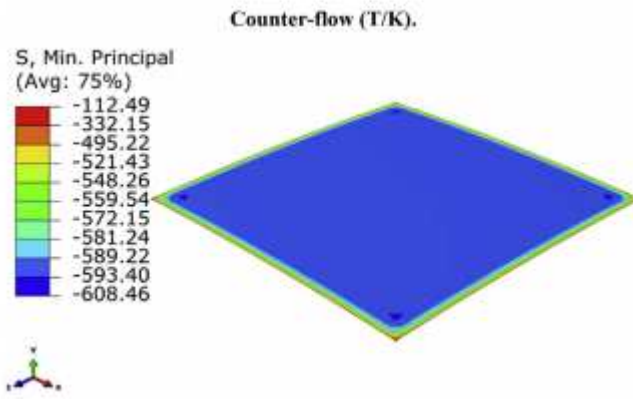


(a) Co-flow



(b) Counter-flow

شکل ۳. مشخصات محاسبه شده دما در این سلول (a) جریان همزمان (b) ضد جریان



شکل ۴ - توزیع استرس شبیه سازی شده در الکتروولیت در دمای اتاق.

۳. نتایج و بررسی

۳.۱. تجزیه و تحلیل سیال-حرارتی

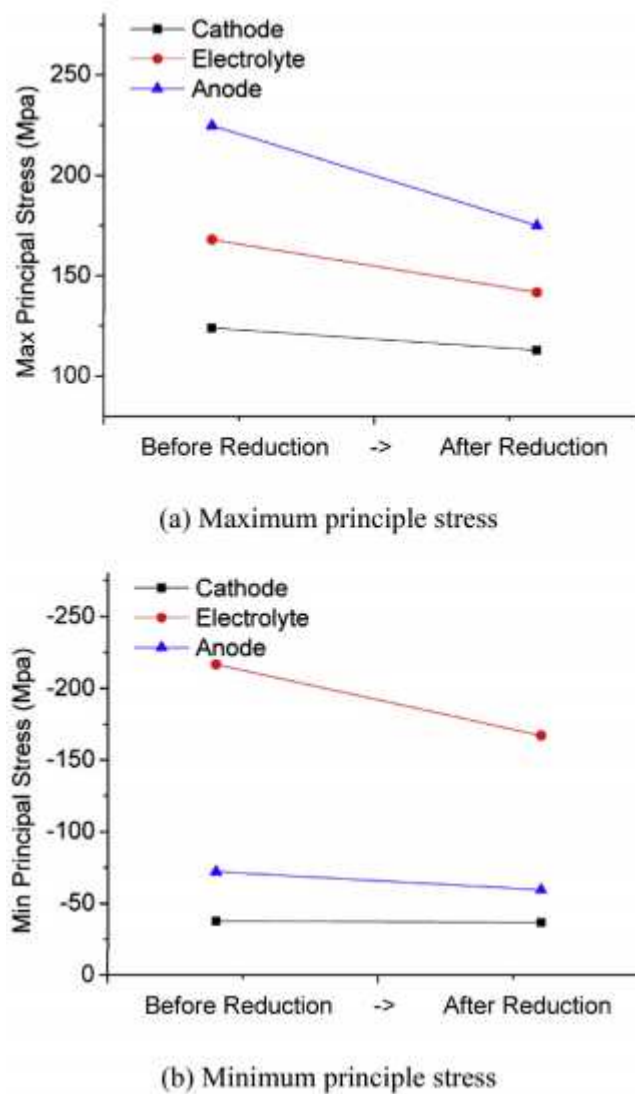
نیمی از یک مدل متقارن سلول واحد با کانال های دو قطبی عمل کننده با بخار مستقیم داخلی اصلاح کننده متان و هوا در یک SOFC مسطح در این کار مدلسازی شده است. شبیه سازی های عددی با هر دو جریان همزمان و ضدجریان انجام شده است.

در کار سابق [۲۶، ۲۷]، مشخصات پروفایل برای درجه حرارت، پتانسیل الکتریکی و چگالی جریان محاسبه شده توسط مدل مشابه با معیار از آژانس بین المللی انرژی (IEA) مقایسه شد و در توافق خوبی با پایگاه داده آژانس بین المللی انرژی بود [۲۷]. و مقایسات نشان می دهد که مدل های الکتروشیمیایی استفاده شده در پیش بینی رفتار SOFC با هندسه های مختلف دقیق هستند.

شرایط عملیاتی مورد به شرح زیر است: فشار سیستم: ۱ بار، نسبت هوا: ۷، کاربرد سوخت: ۸۵٪، میانگین چگالی جریان: 3000 A/m^2 ، ولتاژ سلول: همکاری جریان $65, 69, 70, 76$.

مشخصات پروفایل برای درجه حرارت در شکل ۳ (a) و (b) نشان داده شده است. در مورد جریان همزمان، مشاهده می شود که درجه حرارت در یک فاصله کوتاه از گاز ورودی به دلیل بخار گرمایی داخلي واکنش رفرمینگ متان کاهش می یابد. و پس از آن دما به سمت خروجی گاز زمانی که واکنش اصلاح کننده جریان کامل است، افزایش می یابد. در مورد ضد جریان، درجه حرارت در ورودی سوخت به دلیل واکنش الکتروشیمیایی گرمایش و هوای گرم از

طريق کاتال ھوا به سرعت در حال افزایش است. در پایین دست سوخت، دمای سلول در امتداد جريان سوخت کاهش می یابد، زيرا تولید حرارت کم است و سوخت گرم بوسيله هواي ورودي سرد می شود.

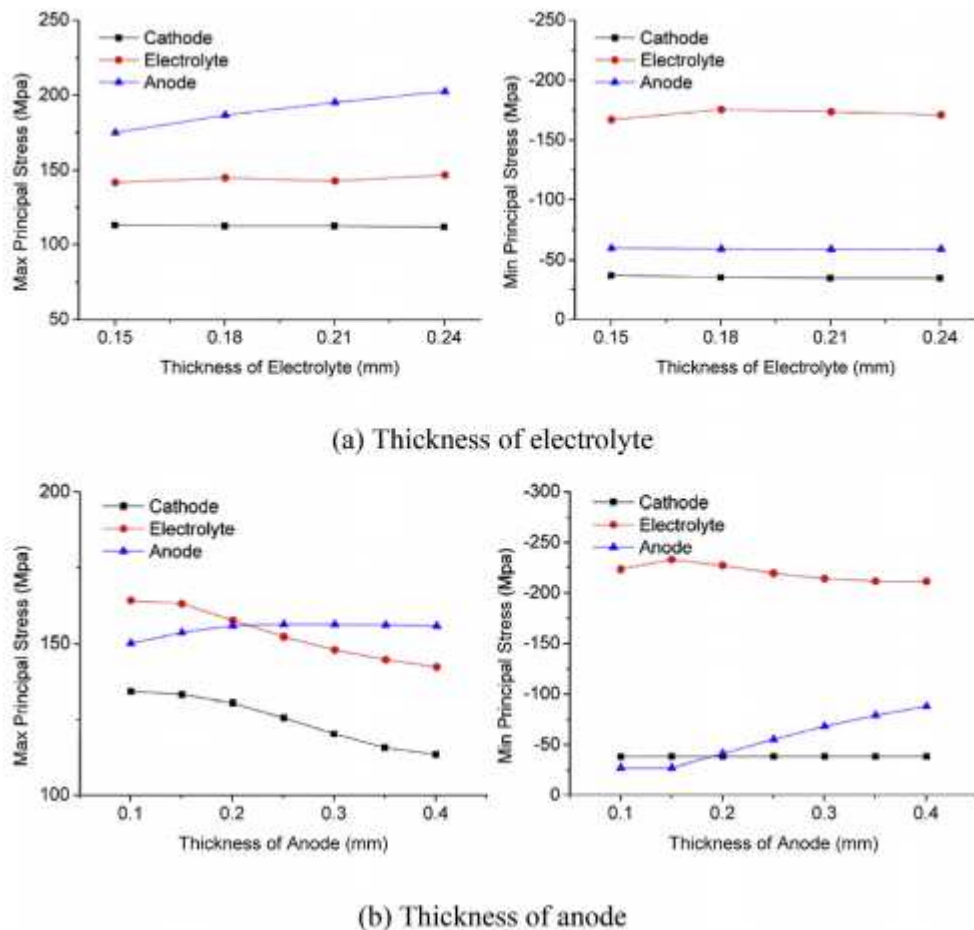


شكل ۵ - تنشهای باقیمانده در ساختار PEN قبل و بعد از کاهش آند (T ¼ ۲۹۸).

۳.۲. محاسبه تنش حرارتی

یک مدل FEA^۳ شامل الکترود منفی-الکترولیت-الکترود مثبت (PEN) و مونتاژ اتصالات با استفاده از نرم افزار عناصر محدود تجاری ABAQUS ساخته شده است. تنش حرارتی در SOFC ها در شرایط مختلف محاسبه می شود.نمایش درجه حرارت شبیه سازی شده برای هر دو جريان همزمان و ضد جريان در SOFC مسطح در اين مدل استفاده شده است. مشخصات پروفیل تنش در ساختار PENها به طور خاص به عنوان مواد ساختار PEN به طور

معمول سرامیک شکننده مورد بررسی قرار گرفته است. تنش های حرارتی بزرگ به درستی به ترک ها و یا آسیب در ساختار SOFC از PEN منجر خواهد شد. با این حال که یک رفتار الاستیک خطی برای ساختار PEN فرض می شود و رفتار پلاستیک برای MIC استفاده می شود، ممکن است به انحنای سلول بالاتر و تغییر شکل های مختلف از SOFC منجر شود.



شکل ۶. رابطه بین تنش های باقیمانده و ضخامت های اجزای مختلف PEN ($T = 298\text{ K}$)

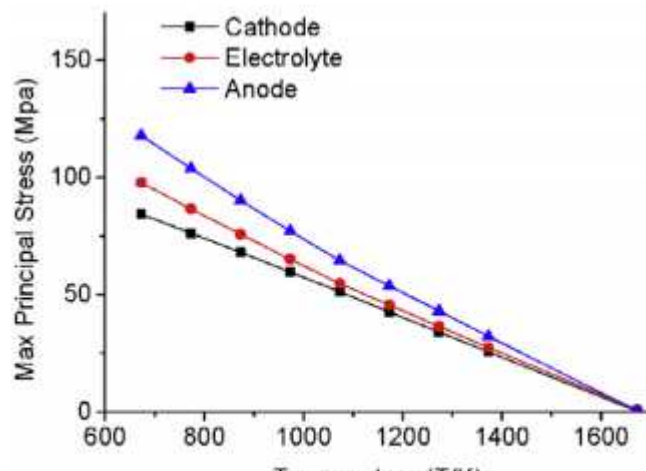
به منظور توجیه دقت مدل FEA، مدل SOFC به همان روش با توجه به نمونه آزمایش در مرجع [۸] ساخته شد. همانطور که در شکل ۴ نشان داده شده است، توزیع تنش شبیه سازی شده در الکترولیت در دمای اتاق محاسبه می شود. تنش های فشاری، مقادیر تقریبا همگن از $-610 - 56$ مگاپاسکال تا -670 مگاپاسکال بر روی صفحه الکترولیت به جز قسمت لبه می باشند. حداقل مقدار تنش 610 مگاپاسکال است که حدود 8 درصد کوچکتر از تنش (حدود 670

مگاپاسکال) گزارش شده در مرجع است. نزدیک قسمت گوشه، تنش کمی بزرگتر از تنش در بخش مرکزی است که از لحاظ کیفی با نتیجه اندازه گیری تنش اشعه X در مرجع نیز سازگار است.

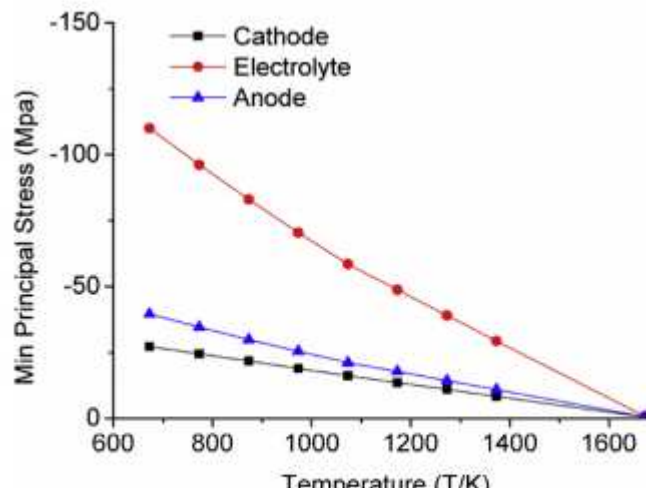
درجه حرارت پخت ساختار PEN معمولاً در 1673 است [8]. NIO در آند متخلخل به واسط هیدروژن مرتبط با دمای 1073 K در چند ساعت کاهش می یابد. همانطور که در شکل نشان ۵ (a) و (b) داده شده است، تنش پسماند در 298 K در ساختار PEN ناشی از تولید قبل از کاهش و پس از کاهش برای آند محاسبه می شود. این را می توان از شکل ۵ (a) دید که تنش های کششی باقی مانده در آند بسیار بیشتر از تنش ها در کاتد و الکترولیت است. تنش کششی حداکثر در آند $224,67\text{ MPa}$ مگاپاسکال قبل از کاهش آند است و به $174,94\text{ MPa}$ پس از کاهش افت می کند. آند طول اولین خنک کنندگی از دمای پخت (1673 K) تحت تنش کششی زیادی قرار می گیرد. ترک ها احتمالاً می تواند در ساختار آند ظاهر شوند، زمانی که ساختار PEN در دمای اتاق پس از پخت سرد می شود. همانطور که در شکل ۵ (b) نشان داده شده است، تنش های فشاری باقی مانده در الکترولیت ها بسیار بیشتر از تنش در آند و کاتد است. حداکثر تنش فشاری در پس از کاهش آند الکترولیت از $216,67\text{ MPa}$ مگاپاسکال تا $167,05\text{ MPa}$ مگاپاسکال تغییر می کند. الکترولیت در طول سرد شدن از درجه حرارت پخت برای تعادل تنش کششی زیاد در الکترودها، تحت تنش فشاری بزرگی قرار می گیرد. تنش های فشاری در الکترولیت بسیار پایین تر از استحکام YSZ است. کاهش شیمیایی NIO به نیکل در تخلخل آند، سطح تنش مطلق در ساختار PEN را تا 20 درصد کاهش می دهد و در زمان متوسط قدرت آند نیز پایین می آید.

ارتباط بین تنش های پسماند و ضخامت اجزای مختلف PEN در 298 K به منظور بررسی تاثیر ضخامت اجزای PEN مختلف در تنش های باقی مانده محاسبه می شود. همانطور که در شکل ۶ (a) نشان داده شده است، تنش کششی حداکثر در آند با افزایش ضخامت الکترولیت افزایش می یابد، در حالی که حداکثر تنش فشاری در الکترولیت کمی افزایش می یابد و پس از آن تقریباً ثابت می ماند. تنش کششی حداکثر در الکترولیت کمی در حدود 145 MPa نوسان می کند و تنش در کاتد تقریباً در 112 MPa ثابت می ماند. حداکثر تنش فشاری در الکترود بسیار پایین تر از الکترولیت می باشد. تنش کششی حداکثر در PEN ساختار از $174,94\text{ MPa}$ مگاپاسکال به

۲۰۲,۴۲ مگاپاسکال زمانی که ضخامت الکتروولیت از ۱۵,۰ میلی متر تا ۲۴,۰ میلی متر افزایش می یابد، زیاد می شود. همانطور که در شکل ۶ (B) نشان داده شده است، تنש های کششی باقی مانده در الکتروولیت و کاتد با افزایش ضخامت آند، کاهش می یابد. تنش های کششی باقی مانده در آند ابتدا افزایش می یابند اما پس از آن با افزایش ضخامت آند کمی کاهش می یابند. تنش فشاری باقی مانده در الکتروولیت ها بسیار بیشتر از تنش ها در الکتروودها است که با افزایش ضخامت آند، کمی به ۲۳۲,۹۶ مگاپاسکال افزایش می یابد و پس از آن به ۲۱۱,۷۳ مگاپاسکال کاهش می یابد. تنش کششی حداکثر در ساختار PEN از ۱۶۴,۲۱ مگاپاسکال تا ۱۵۵,۸۱ مگاپاسکال با افزایش ضخامت آند از ۱,۰ میلی متر تا ۴,۰ میلی متر، کاهش می یابد. این را می توان از شکل ۶ (a) و (b) دید که الکتروولیت های نازک تر و ضخیم تر آند منجر به کاهش تنش پسماند در ساختار PEN می شود. این نشان می دهد که الکتروولیت های نازک تر و ضخیم تر آند برای عملکرد ساختاری SOFC مناسب و قابلیت اطمینان می باشند.



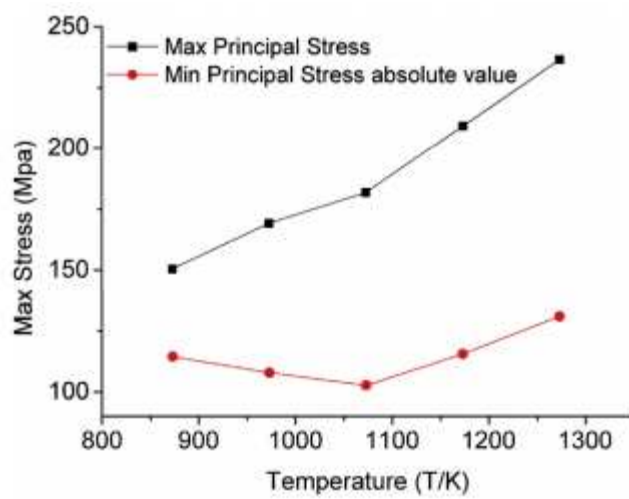
(a) Tensile stresses



(b) Compressive stresses

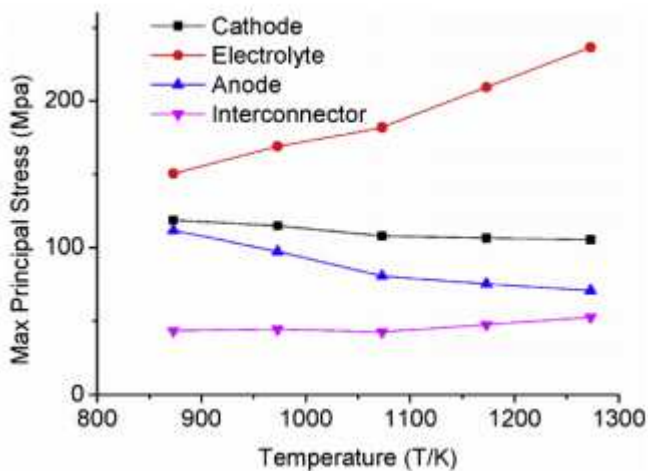
شکل ۷. رابطه بین تنش های باقیمانده و دما در ساختار PEN قبل از مونتاژ MICها.

توزیع حداکثر تنش اصلی و حداقل تنش اصلی در ساختار PEN قبل از مونتاژ MICها در توزیع های مختلف درجه حرارت محاسبه می شود. همانطور که در شکل ۷ نشان داده شده است، هر دو تنش های کششی و تنش فشاری تقریباً به صورت خطی با افزایش دما از 673 K تا 1373 K کاهش می یابند. تنش های کششی در آند بزرگتر از تنش های در الکتروولیت و کاتد است در حالی که الکتروولیت تحت تنش فشاری کمتری نسبت به سایر اجزاء قرار می گیرد. هر دو تنش های کششی و تنش فشاری در ساختار PEN با افزایش درجه حرارت به درجه حرارت پخت از ساختار PEN در $1,673\text{ K}$ تقریباً به صفر می رسند.



شکل ۸. رابطه بین تنش های ماکزیمم و درجه حرارت

پس از مونتاژ MIC‌ها در دمای اتاق، توزیعات حداکثر تنش‌های اصلی و حداقل تنش‌های اصلی در SOFC‌ها در توزیع‌های مختلف درجه حرارت محاسبه می‌شود. همانطور که در شکل ۸ نشان داده شده است، حداکثر تنش‌های کششی با افزایش دما از ۸۷۳ K تا ۱۲۷۳ K زیاد می‌شود. حداکثر تنش فشاری که الکتروولیت در معرض آن قرار می‌گیرد، ۱۶۷,۰۵ مگاپاسکال در دمای اتاق است. با افزایش دما از دمای اتاق تا ۱۰۷۳ K این مقدار به ۱۰۲,۷۴ مگاپاسکال کاهش می‌یابد. سپس با افزایش دما به ۱۲۷۳ K، به ۱۳۱,۰۴ مگاپاسکال می‌رسد. شکل ۹ نشان دهنده حداکثر تنش اصلی محاسبه شده در دماهای مختلف برای هر جزء است. تنش‌های حرارتی در الکتروولیت‌ها بزرگ‌تر تنش‌های حرارتی در دیگر مولفه‌ها در توزیع دمای یکنواخت است. زمانی که افزایش دما از ۸۷۳ K تا ۱۲۷۳ K رخ می‌دهد، حداکثر تنش اصلی در الکتروولیت از ۱۵۰,۴۳ مگاپاسکال به ۲۳۶,۵۳ Mpa افزایش می‌یابد، در حالی که حداکثر تنش اصلی در MIC کمی در اطراف ۴۶ مگاپاسکال نوسان می‌کند.

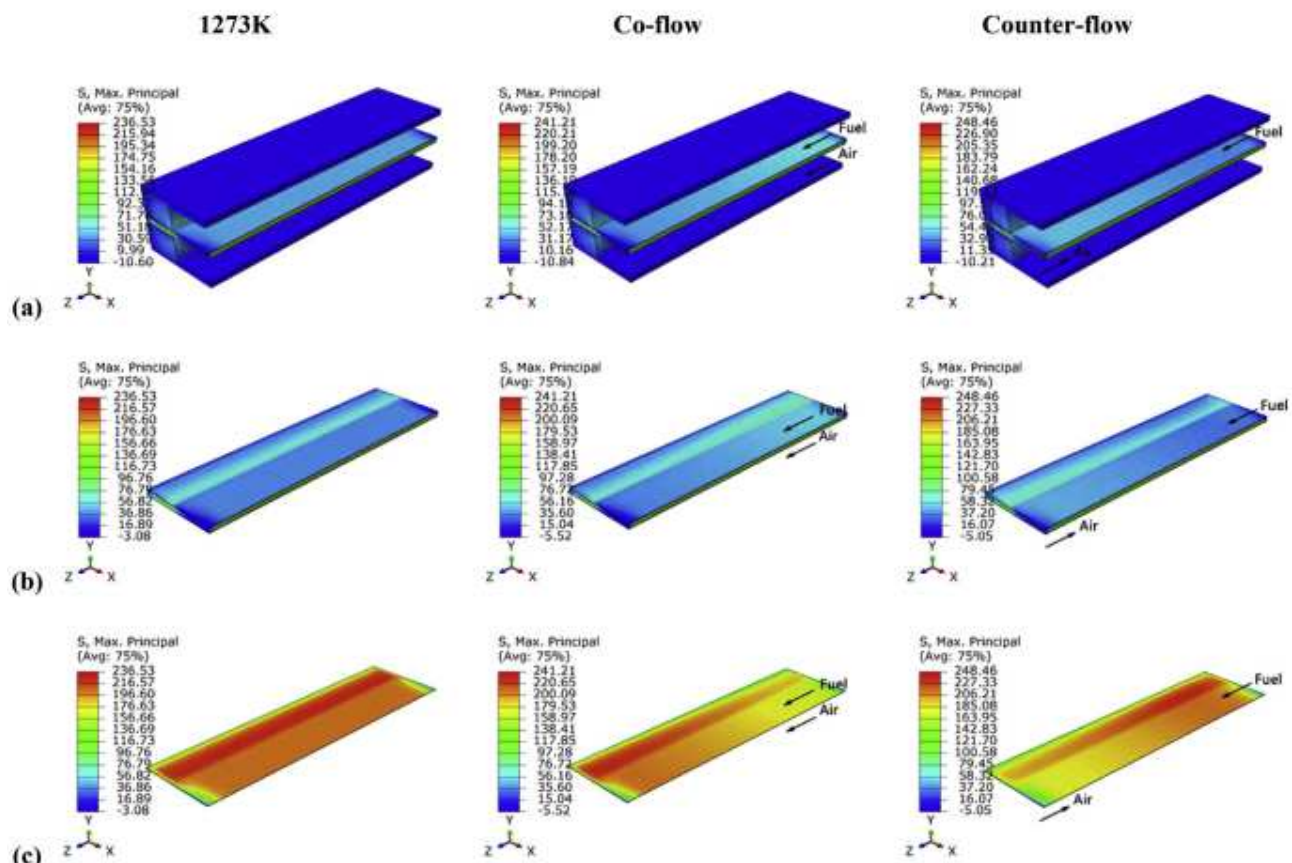


شکل ۹. رابطه بین تنش‌های اصلی ماکزیمم و درجه حرارت در ساختار SOFC

این به این دلیل است که عدم تطابق ضریب انبساط حرارتی (CTE) بین الکتروولیت و الکتروودها نسبتاً بزرگ است. با افزایش دما، عدم تطابق CTE منجر به افزایش تغییر شکل با اجزا می‌شود که نتیجه‌ان تنش‌های بزرگ‌تر است. همچنین می‌توان دید که حداکثر تنش اصلی در آند از ۱۱۱,۵ مگاپاسکال تا ۷۰ مگاپاسکال و تنش‌ها در کاتد از ۱۱۸,۵۲ مگاپاسکال به ۱۰۵,۲۱ مگاپاسکال با افزایش دما از ۸۷۳ K تا ۱۲۷۳ K کاهش می‌یابد. نتایج نشان می‌

دهد که تنش فشاری در الکتروولیت ها و تنش های کششی را در آند تا حدی آرام می شوند در حالی که تنش های کششی در الکتروولیت در درجه حرارت بالاتر در SOFC بزرگتر است.

مشخصات دمای شبیه سازی در SOFC مسطح را می توان به تنش های حرارتی مدل المان محدود وارد نمود. مشخصات تنش های حرارتی در ساختار PEN و MIC ها برای موارد مشترک جریان، ضد جریان و میدان درجه حرارت یکنواخت در $1,273\text{ K}$ محاسبه شده اند. توزیع حداکثر تنش اصلی SOFC ، ساختار PEN و الکتروولیت ها در شکل ۱۰ ارائه شده است. این را می توان از شکل ۱۰ (a) و (b) دید که حداکثر تنش اصلی در PEN از MIC ها بزرگتر است. تنش در الکتروولیت ها برای همه موارد بسیار بیشتر از نقاط دیگر است. حداکثر تنش اصلی در ضد جریان از جریان همزمان بالاتر است. تنش در 1273 K کمتر از جریان همزمان و ضد جریان می باشد. در تمام موارد فوق، مقدار حداکثر تنش کششی $248,46$ مگاپاسکال است که در الکتروولیت های ضد جریان، این مقدار کوچکتر از تنش شکست الکتروولیت (343 مگاپاسکال) است [۷].



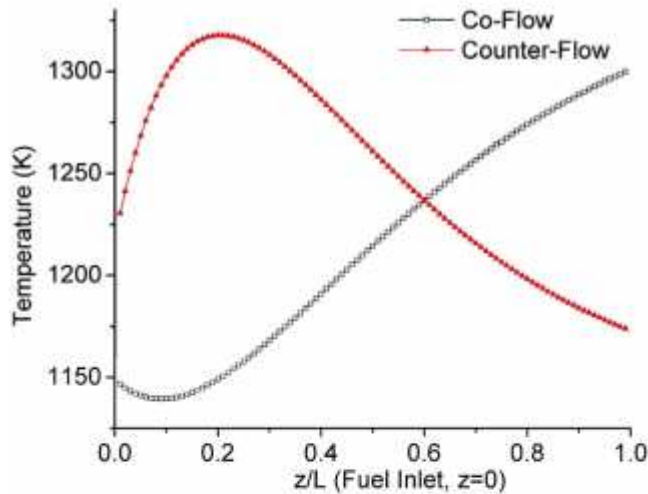
شکل ۱۰ - حداکثر تنشهای اصلی در (الف) SOFC ها ، (ب) ساختارهای PEN و الکتروولیت های (ج) برای موارد

صرف همزمان جریان K1273 و جریان ضد جریان.

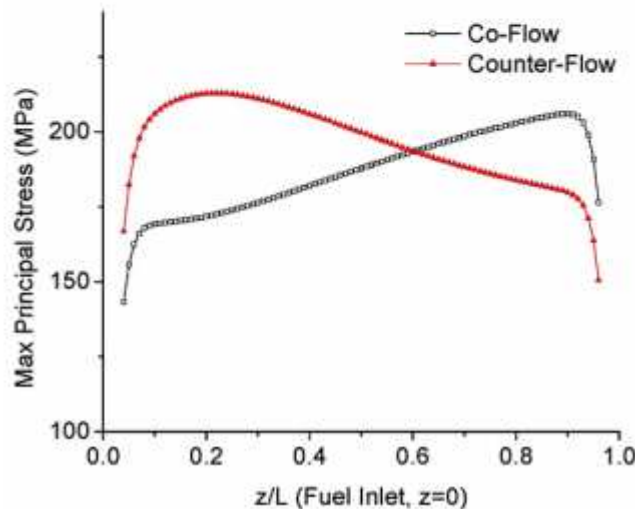
در مورد جریان همزمان SOFC ، همانطور که در شکل ۱۰ (C) نشان داده شده است، یک غلظت تنش کششی در الکتروولیت نزدیک به خروجی گاز وجود دارد، زیرا دما در طول جریان گاز به دلیل واکنش الکتروشیمیایی حرارت زا، افزایش می یابد. حداکثر تنش اصلی، در الکتروولیت در نزدیکی خروجی سوخت به مقدار ماکزیمم می رسد. دلیل آن این است که تنش کششی در حالی که درجه حرارت در خروجی سوخت SOFC در مورد جریان، به حداکثر مقدار می رسد، با افزایش دما افزایش می یابد. عدم تطابق CTE بین الکتروولیت و الکترودها نسبتاً بزرگتر است.

این از شکل ۱۰ (C) متوجه می شویم که غلظت تنش کششی نزدیک به ورودی سوخت در مورد ضد جریان قرار دارد. دلیل آن این است که گرادیان دما در ورودی سوخت به حداکثر می رسد. عدم تطابق CTE بین الکتروولیت و الکترودها نسبت به دیگران بزرگتر است. علاوه بر این، تنش با افزایش دما افزایش می یابد. بنابراین، حداکثر مقدار تنش اصلی در الکتروولیت در محل حداکثر درجه حرارت به نظر می رسد.

شکل ۱۱ (a) نشان دهنده توزیعات دما در مرکز الکتروولیت در امتداد جهت جریان سوخت برای هر دو مورد جریان همزمان و ضد جریان است. در مورد ضد جریان ، درجه حرارت به سرعت در نزدیکی ورودی سوخت افزایش می یابد. گرادیان دمای بزرگتر حدود ۱۰ K میلی متر در این منطقه یافت می شود. حداکثر تنش اصلی در امتداد جهت جریان سوخت در شکل ۱۱ (b) نشان داده شده است. در مورد جریان همزمان، حداکثر تنش اصلی افزایش می یابد زیرا دما در امتداد جهت جریان سوخت افزایش می یابد. تنش در نزدیکی خروجی سوخت به حداکثر می رسد. در مورد ضد جریان، حداکثر تنش در نزدیکی ورودی سوخت به سرعت در حال افزایش است، زیرا گرادیان درجه حرارت بالا در این حوزه به نظر می رسد. حداکثر تنش اصلی در جلوی این موقعیت که در آن بالاترین درجه حرارت به نظر می رسد، به حداکثر می رسد. نشان داده شده است که درجه حرارت بالاتر و گرادیان بزرگتر دما منجر به به تنش های کششی بزرگتر می شود. این به این معنی است که درجه حرارت عملیاتی و تغییرات دما باید در SOFCs برای کاهش تنش حرارتی، کاهش یابد.



(a) Temperature



(b) Max Principal thermal stresses

شکل ۱۱. تنش های اصلی ماکریم و دما در مرکز الکتروولیت در امتداد جهت جریان سوخت.

۴. نتایج

مدل الکتروشیمیایی قطبش کامل سه بعدی و مدل المان محدود تنش حرارتی سه بعدی برای SOFC مسطح در این مقاله استفاده شده است. واکنش اصلاح داخلی و واکنش جابجایی آب-گاز در شبیه سازی ها برای جریان همزمان و ضد جریان در نظر گرفته می شود. با مشخصات دمایی شبیه سازی شده در SOFC مسطح، تجزیه و تحلیل المان محدود برای محاسبه توزیع تنش حرارتی در SOFC مسطح به کار گرفته شده است. اثرات دما، آند و ضخامت الکتروولیت و ضریب عدم تطابق انبساط حرارتی بین مولفه ها مشخص و مورد تجزیه و تحلیل قرار گرفته است.

نتایج شبیه سازی سیال-حرارتی نشان داد که گرadiان دما در نزدیکی ورودی سوخت برای الگوی ضد جریان بسیار بزرگتر از الگوی جریان همزمان است. تنفس حرارتی به طور عمدۀ از عدم تطابق CTE بین مواد مختلف نشات می‌گیرد. آند تحت تنفس کششی زیادی قرار می‌گیرد و الکتروولیت در مدت اولین خنک کنندگی از دمای پخت تحت تنفس فشاری بزرگی قرار می‌گیرد. زمانی که ساختار PEN به دمای اتفاق پس از پخت سرد می‌شود، ترک‌ها احتمالاً می‌توانند در ساختار آند ظاهر شود. کاهش شیمیایی از NIO به نیکل در آند متخلخل باعث کاهش سطح تنفس مطلق در ساختار PEN به اندازه 20 درصد می‌شود در حالی که در زمان میانگین، این استحکام آند پایین‌تر نیز می‌آید. هنگامی که SOFC در دمای بالاتر کار می‌کند، تنفس‌های کششی در آند و تنفس‌های فشاری در الکتروولیت تا حدودی آرام می‌شود.

الکتروولیت ضخیم تر منجر به تنفس‌های کششی باقی مانده بزرگتری در آند می‌شود. تنفس‌های فشاری باقی مانده در الکتروولیت‌ها در میان اجزای ساختار PEN حداکثر است. تنفس کششی حداکثر در ابتدا در ساختار PEN کاهش می‌یابد اما پس از آن با افزایش ضخامت آند پایدار می‌ماند. هر دوی تنفس‌های کششی و تنفس فشاری با افزایش درجه حرارت قبل از مونتاژ MIC‌ها آرام می‌شوند. پس از مونتاژ MIC‌ها، تنفس‌های فشاری در الکتروولیت‌ها و تنفس‌های کششی را در آند تا حدی آرام می‌شود در حالی که تنفس‌های کششی در الکتروولیت در درجه حرارت بالاتر در SOFC افزایش می‌یابد. درجه حرارت عملیاتی و گرadiان دما، از عوامل اصلی هستند که باعث تمرکز تنفس کششی در الکتروولیت می‌شوند. زمانی که تنفس کششی بزرگتر منجر به ترک در آند می‌شود، گرadiان درجه حرارت پایین‌تر، مواد نزدیک CTE و الکتروولیت نازک تر برای دستیابی به عملکرد بهتر و قابلیت اطمینان بالاتر برای SOFCs توصیه می‌شوند.

تشکر و قدردانی

این کار توسط بنیاد علوم طبیعی ملی چین (گرانت شماره ۵۱۲۷۶۱۴۵) پشتیبانی شده است.

فهرست اصطلاحات و واژه‌ها

A0 ضریب هدایت

$J \text{ mol}^{-1} \text{ K}$ CP ظرفیت گرمایی ویژه

$\text{m}^2 \text{ s}^{-1}$ D ضریب انتشار

$J \text{ mol}^{-1}$ E انرژی فعال سازی

V ولتاژ ، EV

V ، Nernst En پتانسیل

Pa مدول یانگ، E

mol^{-1} F ثابت فارادی، ۹۶۴۸۵

$J \text{ mol}^{-1}$ G انرژی آزاد گیبس مولی

Pa مدول برشی، G

$J \text{ mol}^{-1}$ H آنتالپی مولی

$A \text{ m}^{-2}$ i چگالی جریان

$A \text{ m}^{-2}$ i0 چگالی جریان تبادلی

K ثابت تعادل

M فاصله

m طول سلول، L

\vec{n} بردار واحد نرمال برای واسطه واکنش

Pa، P فشار

Pa فشار استاندارد ، P0

Pa مقدار ارزیابی فشار، P

$W\ m^{-3}$ منبع حرارت Q

$\Omega\ m^{-2}$ مقاومت خاص-منطقه R

$s^{-1}\ m^{-3}$ ن Rox واکنش حجمی r .

$J\ mol^{-1}\ K^{-1}$ ثابت گاز جهانی، $8,314\ J$

Ω مقاومت اهمی، Rn

$J\ mol^{-1}\ K^{-1})$ آنتروپی مولی s

S جزء منبع

K دما، T

$m\ s^{-1}$ سرعت v

ze الکترون یافته در هر واکنش

حروف یونانی

K^{-1} ضریب انبساط حرارتی خطی α

β ضریب انتقال جریان

η قطبیت، V

$kg\ m^{-3}$ چگالی سیال، ρ

$S\ m^{-1}$ رسانایی، σ

φ پتانسیل الکتریکی، V

ζ عامل مقاومت داخلی

λ ضریب واکنش استوکیومتری

γ ضریب ها در معادله. (۳) و (۴)

μ ویسکوزیته سیال، Pas

ε_{ij} تانسور کرنش

σ_{ij} تانسور تنش، Pa

σ_y حد سیستم، Pa

ν نسبت پواسون

زیر نویس ها

a یک آند

فعالسازی act

b عقب

c کاتد

غلظت conc

الکتروولیت el

f رو به جلو

α گونه های شیمیایی

زجهت هماهنگی

اهم ohm

P محصول

r واکنش دهنده

تابشی rad

References

- [1] U. Pasaogullari, C.Y. Wang, Computational fluid dynamics modeling of solid oxide fuel cells, in: Proc. Electrochem. Soc. (Solid Oxide Fuels Cells VIII, Paris), 7, 2003, p. 1403.
- [2] P.W. Li, K. Suzuki, Numerical modeling and performance study of a tubular SOFC, *J. Electrochem. Soc.* 151 (2004) A548.
- [3] R.J. Braun, Optimal Design and Operation of Solid Oxide Fuel Cell Systems for Small-scale Stationary Applications, University of Wisconsin, Madison, 2002.
- [4] J.R. Ferguson, J.M. Flard, R. Herbin, Three-dimensional numerical simulation for various geometries of solid oxide fuel cells, *J. Power Sources* 58 (1996) 109–122.
- [5] H. Yakabe, T. Ogiwara, M. Hishinuma, I. Yasuda, 3-D model calculation for planar SOFC, *J. Power Sources* 102 (2001) 144–154.
- [6] J. Malzbender, R.W. Steinbrech, Advanced measurement techniques to characterize thermo-mechanical aspects of solid oxide fuel cells, *J. Power Sources* 173 (2007) 60–67.
- [7] A. Selcuk, G. Merere, A. Atkinson, The influence of electrodes on the strength of planar zirconia solid oxide fuel cells, *J. Mater. Sci.* 36 (2001) 1173–1182.
- [8] H. Yakabe, Y. Baba, T. Sakurai, Y. Yoshitaka, Evaluation of the residual stress for anode-supported SOFCs, *J. Power Sources* 135 (2004) 9–16.
- [9] W. Fischer, J. Malzbender, G. Blas, R. Steinbrech, Residual stresses in planar solid oxide fuel cells, *J. Power Sources* 150 (2005) 73–77.
- [10] A. Selimovic, M. Kemm, T. Torisson, M. Assadi, Steady state and transient thermal stress analysis in planar solid oxide fuel cells, *J. Power Sources* 145 (2005) 463–469.
- [11] L. Liu, G.-Y. Kim, A. Chandra, Modeling of thermal stresses and lifetime prediction of planar solid oxide fuel cell under thermal cycling conditions, *J. Power Sources* 195 (2010) 2310–2318.
- [12] J. Laurencin, G. Delette, F. Lefebvre-Joud, M. Dupeux, A numerical tool to estimate SOFC mechanical degradation: case of the planar cell configuration, *J. Eur. Ceram. Soc.* 28 (2008) 1857–1869.
- [13] A. Nakajo, F. Mueller, J. Brouwer, D. Favrat, Mechanical reliability and durability of SOFC stacks. Part I: modelling of the effect of operating conditions and design alternatives on the reliability, *Int. J. Hydrogen Energy* 37 (2012) 9249–9268.
- [14] A. Nakajo, F. Mueller, J. Brouwer, D. Favrat, Mechanical reliability and durability of SOFC stacks. Part II: modelling of mechanical failures during ageing and cycling, *Int. J. Hydrogen Energy* 37 (2012) 9269–9286.
- [15] K.S. Weil, B.J. Koeppel, Thermal stress analysis of the planar SOFC bonded compliant seal design, *Int. J. Hydrogen Energy* 33 (2008) 3976–3990.
- [16] T.L. Jiang, M.-H. Chen, Thermal-stress analyses of an operating planar solid oxide fuel cell with the bonded compliant seal design, *Int. J. Hydrogen Energy* 34 (2009) 8223–8234.
- [17] X. Zhang, G. Li, J. Li, Z. Feng, Numerical study on electric characteristics of solid oxide fuel cells, *Energy Convers. Manage.* 48 (2007) 977–989.
- [18] S.H. Chan, K.A. Khor, Z.T. Xia, A complete polarization model of a solid oxide fuel cell and its sensitivity to the change of cell component thickness, *J. Power Sources* 93 (2001) 130–140.
- [19] P. Costamagna, K. Honegger, Modeling at solid oxide heat exchanger integrated stacks and simulation at high fuel utilization, *J. Electrochem. Soc.* 145 (1998) 3995–4007.
- [20] E. Achenbach, E. Riensche, Methane/steam reforming kinetics for solid oxide fuel cells, *J. Power Sources* 52 (1994) 283–288.
- [21] W. Tao, Numerical Heat Transfer, Xi'an Jiaotong University Press, Xi'an, 2001, pp. 311–313.
- [22] F. Fluent, 6.3 User's Guide, Fluent Inc, 2006.
- [23] R.B. Hetnarski, M.R. Eslami, Thermal Stresses – Advanced Theory and Applications, Springer London, Limited, 2008.
- [24] L. Petrucci, S. Cocchi, F. Fineschi, A global thermo-electrochemical model for SOFC systems design and engineering, *J. Power Sources* 118 (2003) 96–107.
- [25] A. Nakajo, J. Kuebler, A. Faes, U.F. Vogt, H.J. Schindler, L.-K. Chiang, S. Modena, T. Hocker, Compilation of mechanical properties for the structural analysis of solid oxide fuel cell stacks. Constitutive materials of anode-supported cells, *Ceram. Int.* 38 (2012) 3907–3927.
- [26] X. Zhang, J. Li, G. Li, Z. Feng, Numerical study on the thermal characteristics in a tubular solid oxide fuel cell with indirect internal reformer, *Int. J. Therm. Sci.* 48 (2009) 805–814.
- [27] E. Achenbach, SOFC Stack Modeling, in: Final Report of Activity A2, Annex II: Modelling and Evaluation of Advanced Solid Oxide Fuel Cells, in., Juelich, Germany, March, 1996.



این مقاله، از سری مقالات ترجمه شده رایگان سایت ترجمه فا میباشد که با فرمت PDF در اختیار شما عزیزان قرار گرفته است. در صورت تمایل میتوانید با کلیک بر روی دکمه های زیر از سایر مقالات نیز استفاده نمایید:

✓ لیست مقالات ترجمه شده

✓ لیست مقالات ترجمه شده رایگان

✓ لیست جدیدترین مقالات انگلیسی ISI

سایت ترجمه فا؛ مرجع جدیدترین مقالات ترجمه شده از نشریات معترض خارجی